

高強度コンクリートの曲げ疲労性状に関する研究

武藏工業大学工学部 ○学 森久保 武史

正 小玉 克巳

正 仲宗根 茂

1. はじめに

高強度コンクリートは、圧縮強度に対する曲げ強度の比は普通コンクリートに比べ小さく、圧縮強度は大幅に増進しているが、曲げ強度に関しては圧縮強度ほど強度増進がない¹⁾ことがわかっている。従って、曲げ疲労性状について上述の関係も知る必要がある。さらに、非破壊試験法の1手法であり、コンクリートの耐久性診断技法として注目されている²⁾、Acoustic Emission(以下 AE とする)法も用いて高強度コンクリートの曲げ疲労による劣化性状を把握しようとしたものである。

表-1 配合表

	Gmax (mm)	スラブ (cm)	空気量 (%)	W/C (%)	s/a (%)	単位量 (kg/m ³)				混和剤 (C×%)
						W	C	S	G	
高強度コンクリート	20	18	1.8	28	40	140	500	678	1080	4.5
普通コンクリート	20	10	1.5	45	42	195	433	713	1004	0.3

2. 実験概要

2-1. 供試体作成方法

供試体寸法は、10×10×40cm である。使用材料は普通ポルトランドセメント、川砂、碎石、そして、高性能 AE 減水剤(ただし、普通コンクリートは AE 減水剤)を用いた。配合表を表-1 に示す。材令 28 日まで標準養生後 3 ヶ月以上気中乾燥させた。

2-2. ひずみ測定方法と AE 測定方法

供試体概略図を図-1 に示す。ひずみの測定位置は図-1 の通り、供試体底部に 30mm ワイヤーストレインゲージ 7 枚を貼り付け、デジタル動ひずみ計に接続した。一方、AE の測定は、AE センサを供試体側面中央下部にセンサホルダを用いて圧着した。バンドパスフィルタは 100KHz～1MHz であり、スレッシュホールドは、振動によるノイズを考慮し、V_L=150mmV、V_H=200mmV とした。さらに、治具と供試体接触部分には、ノイズ除去するためゴムシートを敷いた。また、計測ゲイゲルを図-2 に示す。

2-3. 載荷方法

載荷は 10tf-ボルト型試験機を用い、載荷周波数を 5Hz、載荷波形を正弦波とした。また、上限載荷応力比((最大載荷応力/静的強度)×100)を 65～85%、そして、下限載荷応力比((最小載荷応力/静的強度)×100)を 7%一定とした。載荷応力比の荷重の決定方法は、1% 中のばらつきを考慮するために、あらかじめ各バッチ 3 本づつ静的曲げ試験を行い応力-ひずみ関係を求め、繰返載荷を実施する供試体に荷重(約 1000kgf)をかけ、応力-ひずみ関係が同様の静的試験結果より破壊荷重を推定し、その値を載荷応力比の基準として、繰返載荷試験を実施した。

3. 実験結果と考察

3-1. 生存確率

生存確率 P(N_r) とは、試験結果を対数正規分布に適用したもので、繰返し回数 N_r まで破壊が発生しない確率を示し、式(1)³⁾で求められる。

$$P(N_r) = 1 - r/(n+1) \quad \text{---(1)}$$

ここで、n: 同一条件で試験された供試体総数、r: 疲労寿命を小さい順に並べた序数

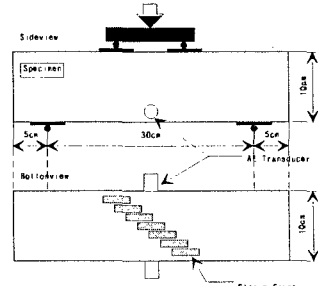


図-1 供試体概略図

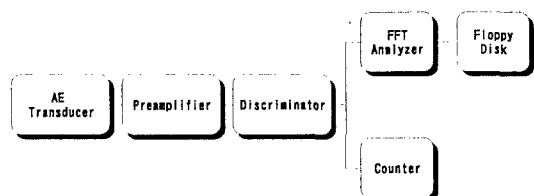


図-2 計測ゲイゲル

表-2 上限載荷応力比毎の回帰式

上限載荷応力比 : S (%)	回帰直線式 $t = B + A \log N_r$	代表値 $P(N_r) = 50$	標準偏差	変動係数
85	$t = 4.655 - 1.806 \log N_r$	377	0.554	0.215
80	$t = 3.363 - 1.168 \log N_r$	756	0.856	0.297
75	$t = 3.200 - 0.973 \log N_r$	1940	1.028	0.313
70	$t = 3.760 - 0.941 \log N_r$	9903	1.063	0.266
65	$t = 3.980 - 0.574 \log N_r$	8586180	1.742	0.251
普通コンクリート: 75	$t = 5.367 - 1.025 \log N_r$	171553	0.976	0.186

また、本研究は、疲労限界($N_x=2 \times 10^6$ 回)に達しても破壊しない場合、載荷を中止している。このことを考慮すると、 n 個の供試体のうち、 m 個が規定回数 N_x までに破壊しなかった場合 $n+1$ 個の供試体が試験に供されたとして仮定することにより、式(2)が求まる³⁾。

$$P(N_r) = 1 - r/(n+2) \quad \text{---(2)}$$

以上の手法を用いて、疲労寿命と生存確率の関係を図-3に示す。そして、上限載荷応力比毎に式(3)の分布モデルで回帰させた。

$$t = A \log N_r + B \quad \text{---(3)}$$

ここで、 t : 正規分布曲線の対数軸からの距離

A,B: 定数

式(3)により、上限載荷応力比毎にまとめた結果を表-2に示す。表-2より、生存確率 $P(N_r)$ が50%のときの繰返し載荷回数 N_r を代表値として用いると、上限載荷応力比75%の時、高強度コンクリートは普通コンクリートと比べ疲労寿命が短い。また、上限載荷応力比75%付近の時、高強度コンクリートは、普通コンクリートと比較して、載荷回数の変動係数が大きく、ばらつきが大であることが認められる。

3-2. 載荷回数比と最大ひずみ、累積AEカウント数の関係

図-4に載荷回数比-ひずみ、AEカウント数比の関係を示す。図中の①は上限載荷応力比75%、破壊回数777回であり、②は上限載荷応力比65%、疲労限界 2×10^6 回である。横軸に載荷回数比を示し、①は破壊回数777回を100とし、②は疲労限界を100とした。また、縦軸にひずみ、AEカウント数比を示し、①は破壊時のAEカウント数を100とし、②は疲労限界時のAEカウント数を100とした。図中①のAEカウント数は載荷回数比90%付近から急増しているのに対し、最大ひずみは載荷回数比65%付近から急増し、両者の増加傾向は異なる。一方、疲労限界まで達した図中②のAE、最大ひずみの増加傾向は比較的のだらかであり、酷似している。このことから、破壊直前のひずみの増加傾向と累積AEカウント数の増加傾向は必ずしも一致しないことがわかる。この要因として、ひずみゲージは劣化過程に生じる微少な変形を直ちに感知することができるが、AE法の場合、高めに設定してあるスレッシュホールドのために、微少な変形で発生した振幅の小さいAE波を検出していない可能性がある。AE法を高強度コンクリートの診断技法として用いるためには、適当なスレッシュホールドの設定が重要である。

4. まとめ

本研究により解明されたことを次にまとめる。

1)高強度コンクリートの疲労寿命は、上限載荷応力比75%のとき、普通コンクリートと比べ疲労寿命が短い。2)高強度コンクリートは、曲げ疲労に関してばらつきが大きくなり、普通コンクリートと比べてもばらつきが大であることが認められる。3)ひずみの増加傾向と累積AEカウント数の増加傾向は、適当なスレッシュホールドの設定により追従するものと考えられる。

<参考文献> 1)中村三明、小玉克巳、仲宗根茂;高強度コンクリートの性状に関する研究、第47回セメント技術大会講演集、pp.732~pp.737、1993 2)大津政康;コンクリート工学におけるアコ-エイック・ミッション(ARM)研究の歴史と現状、土木学会論文集 No.496/V-24、pp.9~19、1994.8 3)松下博通、徳光善治;生存確率を考慮したコンクリートの圧縮疲労強度に関する研究、土木学会論文報告集、No.284、pp.127~138、1979.4

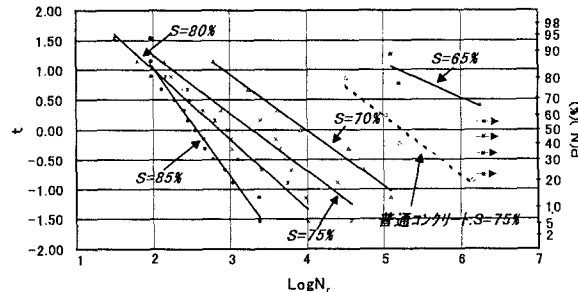


図-3 繰返し曲げ応力を受ける高強度コンクリートの生存確率

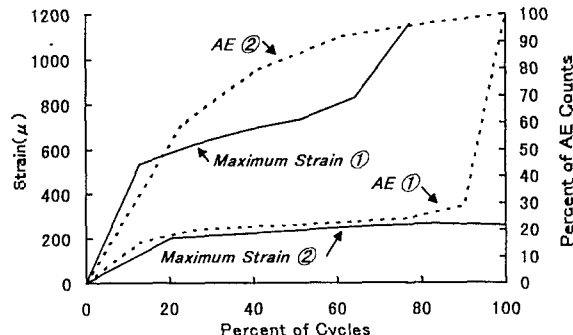


図-4 載荷回数比とひずみ、AEカウント数の関係